



## طراحی، سنتز و نشاندار سازی مشتقات تریپتیدی با استفاده از تکنسیم<sup>99m</sup> برای تشخیص بافت هیپوکسی

محمدحسن هوشدار تهرانی (PhD)<sup>۱\*</sup>، مهتاب محمدپور (Pharm D)<sup>۲</sup>، ثریا شاهحسینی (PhD)<sup>۱</sup>

<sup>۱</sup> گروه شیمی داروئی و داروسازی هسته‌ای، دانشکده داروسازی، دانشگاه علوم پزشکی و خدمات درمانی شهید بهشتی، تهران، ایران

<sup>۲</sup> واحد علوم دارویی، دانشگاه آزاد اسلامی، تهران، ایران

(دریافت مقاله: ۹۷/۱۰/۱۱ - پذیرش مقاله: ۹۷/۱۲/۲۲)

### چکیده

زمینه: در بسیاری از بیماری‌ها نظیر سرطان، ایسکمی و تومورها هیپوکسی بافتی وجود دارد. پس شناسایی و تشخیص بافت هیپوکسی با ترکیباتی که قابلیت نفوذ و ماندگاری را در سلول هیپوکسی داشته باشند، از اهمیت بسزایی برخوردار می‌باشد. استفاده از پیتیدهای با وزن مولکولی کم، حساس به محیط اکسیداسیون احیا، با نفوذ بافتی بهتر از آتنی بادی‌ها و پروتئین‌ها و با خصوصیت آتنی‌ژنیک کم می‌تواند انتخاب مناسبی برای این منظور باشد. بنابراین نشاندارسازی مشتقات پیتیدی چربی دوست حامل ترکیبات نیترو با تکنسیم رادیو اکتیو (<sup>99m</sup>Tc)، به دلیل جذب و ماندگاری بالا در سلول‌های هیپوکسی می‌توانند به عنوان معرف‌های تشخیصی مناسب برای تصویربرداری از بافت هیپوکسی تومورها مورد استفاده قرار گیرند تا اقدامات درمانی به موقع و مؤثرتر سرطان انجام گیرد.

مواد و روش‌ها: در این مطالعه تریپتیدهایی که به انتهای آن‌ها گروه پارانیتروبنزوئیک اسید (PNBA) اضافه شده است، به روش سنتز بر روی فاز جامد (Fmoc SPPS) و با رزین ونگ (Wang resin) سنتز شدند که شناسایی تشکیل آن‌ها توسط اسپکترومتری جرمی انجام گرفت. پیتیدهای سنتز شده با <sup>99m</sup>Tc نشاندار شدند. خصوصیات فیزیکوشیمیایی و خلوص رادیو شیمیایی پیتیدهای نشاندار شده حاصل توسط تکنیک کروماتوگرافی و تعیین ضریب توزیع مورد بررسی قرار گرفت. همچنین به منظور ارزیابی جذب و ماندگاری پیتیدهای نشاندار شده در سلول‌ها در طول زمان‌های ۳۰ تا ۱۲۰ دقیقه، از سلول‌های MCF-7 در شرایط نرمال و هیپوکسی شده توسط جار هیپوکسی استفاده گردید.

یافته‌ها: سنتز پیتیدها بازده خوبی (۷۰ تا ۷۸ درصد) را به دست داد. پیتیدهای سنتز شده و نشاندار از پایداری خوبی در نرمال سالین و پلاسمای انسانی تا حداقل ۴ و ۶ ساعت به ترتیب برخوردار بودند. خلوص رادیو شیمیایی پیتیدهای سنتز شده حدود ۹۴ درصد بود و لیپوفیلیتیت پیتیدهای حاصل قابل قبول (لگاریتم ضریب توزیع آن‌ها <math>-0.006</math>) تشخیص داده شد. نتایج همچنین نشان داد که پیتیدهای نشاندار شده در سلول‌های هیپوکسی ماندگاری بیشتری نسبت به سلول‌های نرمال دارند.

نتیجه‌گیری: با توجه به نتایج به دست آمده در این مطالعه، مشتقات پیتیدی نشاندار شده با تکنسیم<sup>99m</sup> می‌توانند به عنوان معرف‌های مناسب برای تشخیص بافت‌های هیپوکسی به خدمت گرفته شوند.

واژگان کلیدی: سنتز فاز جامد، پیتید، نشاندار سازی، تکنسیم<sup>99m</sup>، هیپوکسی

\* تهران، گروه شیمی داروئی و داروسازی هسته‌ای، دانشکده داروسازی دانشگاه علوم پزشکی و خدمات درمانی شهید بهشتی، تهران، ایران

Email: m\_houshdar@sbmu.ac.ir

\*ORCID: 0000-0001-9820-4156

حضور میزان معمول اکسیژن موجود در سلول مجدد آکسید شده و امکان خروج مجدد آن از سلول فراهم می‌شود. اما در بافت هیپوکسی امکان اکسیداسیون مجدد وجود ندارد و مولکول یک مرحله دیگر احیا شده و به اجزا داخل سلول متصل و در بافت به تله می‌افتد (۸). ترکیباتی بر اساس ساختمان نیترو ایمیدازول‌ها طراحی و سنتز شده‌اند (۹). این ترکیبات با رادیونوکلئیدهای مختلف نشاندار شده و در مطالعات به کار رفته‌اند. در مقاله‌ای، ترکیب پیمونیدازول (Pimonidazole) مورد بررسی قرار گرفته است. در این مطالعه جذب و نفوذ پیمونیدازول به داخل بافت هیپوکسی سلول‌های کارسینومای رحم مورد بررسی قرار گرفت و با پاسخ‌دهی <sup>9</sup> به بیمار از <sup>10</sup> بیمار مورد سنجش، فرضیه اولیه مبنی بر موفق بودن نفوذ پیمونیدازول به درون بافت هیپوکسی، تأیید شد (۱۰). در مقاله دیگری ترکیب BRU59-21 <sup>99m</sup>Tc نشاندار شد و جذب و نفوذ پیمونیدازول آن در سلول، در شرایط حضور و عدم حضور اکسیژن مورد بررسی قرار گرفته است. در این مقاله بیان شده است که انتقال رادیو دارو به خارج از سلول، بستگی مستقیم به غلظت اکسیژن سلولی دارد. در شرایط بی‌هوایی و عدم حضور اکسیژن در سلول، خروج رادیودارو از سلول کمتر شده و در نتیجه غلظت رادیودارو و ماندگاریش در سلول بیشتر می‌شود (۱۱). بهر حال، حذف شدن نیترو ایمیدازول‌ها از بافت‌های سالم، زمان بر است و به علت غلظت نسبتاً کم نیترو ایمیدازول در محل بافت هیپوکسی، تشخیص ناحیه هیپوکسی با مشکل مواجه است. بنابراین نیاز به ترکیباتی است که براحتی نشاندار شده و قابلیت نفوذ و ماندگاری در بافت هیپوکسی را داشته باشند و سمی هم نباشند. استفاده از پیتیدها با وزن مولکولی کم به عنوان جایگزین پروتئین در موارد

## مقدمه

هیپوکسی به کاهش اکسیژن در سطح سلولی گفته می‌شود. هیپوکسی می‌تواند در اثر ایسکمی (خون ناکافی) و یا هیپوکسمی ( $O_2$  ناکافی) ایجاد شود که متدائل‌ترین آن ایسکمی است. ایسکمی حالتی است که در آن تقاضا برای اکسیژن بیشتر از عرضه اکسیژن می‌باشد (۱). در بافت توموری تقاضا بیشتر از عرضه اکسیژن است و بنابراین با کاهش فشار اکسیژن در بافت توموری مواجه هستیم (۱ و ۲). بافت هیپوکسی توموری به علت کاهش سطح خونرسانی و به تبع کاهش دارورسانی، به شیمی درمانی و رادیوتراپی مقاوم می‌باشد (۳-۶). بنابراین تشخیص به موقع بافتی که چهار کمبود اکسیژن شده است در تشخیص و پیگیری روند درمان حائز اهمیت خواهد بود. اگر بافت هیپوکسی به موقع شناسایی و درمان نشود، به مرور به بافت مرده و نکروزه تبدیل می‌شود و این حالت برای ارگان‌های حیاتی بسیار تهدید کننده است (۳ و ۷). بنابراین شناسایی بافت هیپوکسی توسط ترکیباتی که تمایل کافی و مناسب را به بافت هیپوکسی داشته باشند، بسیار حائز اهمیت است. این ترکیبات باید بتوانند به داخل بافت هیپوکسی نفوذ کرده و قابلیت ماندگاری را حداقل برای مدتی که بافت هیپوکسی توسط سیستم‌های تصویربرداری مانند دوربین‌های گاما قابل رؤیت باشد، را داشته باشند. از طرفی این ترکیبات نباید برای بافت هیپوکسی و بافت‌های دیگر سمی باشند (۳). نیترو ایمیدازول‌ها از ترکیباتی هستند که در متابولیسم‌های داخل سلولی (بسته به میزان اکسیژن داخل سلول) شرکت می‌کنند و از اولین ترکیباتی هستند که به عنوان عوامل تصویربرداری بافت هیپوکسی معروفی شده‌اند (۸). وقتی نیترو ایمیدازول وارد یک سلول زنده می‌شود توسط یک الکترون احیا شده و در

کردن مولکول‌های شیمیایی، رادیونوکلئیدی مورد نظر است که خصوصیات فیزیکی مناسب (نیمه عمر، مقدار انرژی و فراوانی تابش‌های گاما) را داشته باشد، بر احتی در دسترس و ارزان باشد. تکنسیوم  $^{99m}$ Tc با نیمه عمر ۶ ساعت، تابش گاما با انرژی  $140\text{ KeV}$  و فراوانی  $90\text{ در}$  درصد به راحتی از طریق ژنراتور  $^{99m}$ Mo/Tc به علت شیمی مناسب و شناخته شده تکنسیوم  $^{99m}$ Tc نشاندار کردن ترکیبات با آن راحت‌تر است (۱۳). در این راستا، ترکیبات پپتیدی در اتصال به نیترو ایمیدازول‌ها به عنوان شلالتور تکنسیم  $^{99m}$ Tc برای شناسایی تومورهای هیپوکسی به کار رفته‌اند (۱۸) در تحقیق حاضر دو پپتید با زنجیره کوتاه که حامل یک ترکیب نیترودار است سنتز و با رادیونوکلئید  $^{99m}$ Tc نشاندار گردیده است و ترکیبات حاصل مورد ارزیابی فیزیکوشیمیایی همراه با مطالعات جذب سلولی آنها در شرایط هوایی و بی‌هوایی قرار گرفته است.

## مواد و روش‌ها

### مواد و دستگاه‌ها

رزین ونگ (Wang resin) و آمینو اسیدهای با آمین محافظت شده توسط گروه فلورونیل متوكسی کربونیل (Fmoc-AA)، معرفه‌های سنتز پپتید از جمله هیدرولکسی بنز تریازول (HOBT) و دی ایزو پروپیل (Bachem) کربودی ایمید (DIC)، از شرکت باخم (Santa Crus) آمریکا، حلال‌های سوئیس و سانتا کروز (Merck) لازم، پی‌پرازین، پارانیتروبنزوئیک اسید، اسید تری فلوئورو استیک از شرکت مرک (Merck) خریداری شد. راکتور شیشه‌ای استوانه‌ایی فیلتردار از بخش خصوصی خریداری شد. دستگاه‌های آنالیز از جمله کروماتوگرافی با کارکرد بالا (HPLC) و نگارنده جرمی

تشخیصی و درمانی در پزشکی هسته‌ای مورد توجه می‌باشد (۱۲)، زیرا پپتیدها نسبت به آنتی بادی‌ها و پروتئین‌ها کوچک‌تر بوده و نفوذ بافتی بهتری را دارا می‌باشند. از طرفی سنتز و نشاندار کردن آنها با رادیوایزوتوپ‌ها راحت‌تر می‌باشد و در عین حال آنتی‌ژنیستیه نداشته و واکنش‌های حساسیتی کمتری را ایجاد می‌کنند (۳ و ۷). اولین بار، پپتیدی را با  $^{111}\text{In}$  برای استفاده در پزشکی هسته‌ای، نشاندار شد (۱۳). چندین سال بعد در مقاله‌ای، سنتز ۲۸ پپتید گزارش شد که نشاندارسازی آن‌ها با رادیونوکلئید  $^{99m}$ Tc مورد بررسی قرار گرفت. در این مقاله، نتیجه شد که هر پپتیدی با هر اسید آمینه‌ای قادر به نشاندار شدن نمی‌باشد. در واقع اسید آمینه‌های خاصی مانند سیستئن، گلیسین و سرین قابلیت برقراری پیوند با پرتکتابات را دارند (۱۴). در مقاله‌ای چاپ شده، که در آن پپتیدی با ۸ آمینو اسید که عمدتاً دارای لوسین بود (ML پپتید) سنتز و با  $^{64}\text{Cu}$  نشاندار شد تا میزان جذب آن در بافت سلطانی پروستات مورد بررسی قرار گیرد. (۱۵). در مقاله‌ی دیگری، پپتیدی با سکانس ۱۰ اسید آمینه سنتز شد و توسط رادیوایزوتوپ  $^{99m}$ Tc نشاندار شد و میزان تمایل آن به پلی‌پپتیدی از سلول‌های نوتروفیل پستانداران، بررسی و آزمایش شد (۱۶). مقاله‌ای دیگر در زمینه میزان جذب پپتیدها توسط سلول‌های توموری منتشر شد. در این مقاله پپتیدی سنتز شد، که هر دو بخش ابتدایی و انتهایی آن توسط پلی‌اتیلن گلیکول (PEG) محافظت شده و سپس توسط رادیوایزوتوپ فلوئور-۱۸ نشاندار شد و میزان جذب آن در سلول‌های توموری موش مورد بررسی قرار گرفت. در این مقاله وجود PEG را به علت افزایش لیپوفیلیستیه پپتید مناسبی دانستند و جذب پپتید به داخل بافت مربوطه را مثبت برآورد کردند (۱۷). برای نشاندار

رزین صورت گرفت و آمینو اسید سوم سرین (یا ایزو لوسین) برای اتصال به پپتید متصل به رزین به واکنش‌گاه اضافه شد. در انتهای، از  $1/4$  میلی‌مول پارانیتروبنزوئیک اسید بمانند یک آمینو اسید برای اتصال به زنجیره تری‌پپتیدی متصل به رزین استفاده گشت. سرانجام رزین حاوی تری‌پپتید متصل به ترکیب نیتره، با حاللهای دی متیل فرمامید، دی کلرومتان و متانول (هر کدام سه بار) شستشو داده شد و سپس رزین تحت خلاء خشک گردید. از  $50$  درصد اسید تری فلوئورو استیک در دی کلرومتان حاوی مواد کمکی (شامل  $7$  تا  $8$  قطره آنیزول و  $100$  میکرولیتر تری ایزوپروپیل سیلان و  $10$  میکرولیتر آب و  $2$  گرم فنول) برای جداسازی پپتید حاوی ترکیب نیتره از رزین استفاده شد. محلول پپتیدی حاصل پس از جدایی از رزین و صاف شدن، به صورت قطره قطره به دی اتیل اتر سرد اضافه گشت و رسوب تشکیل شده از اتر جدا و برای آزمایش‌های بعدی در جای سرد و خشک نگهداری شد. برای تعیین خلوص شیمیایی پپتیدها از کروماتوگرافی مایع با کارایی بالا (HPLC) به همراه نگارندهٔ جرمی (LC-MS) استفاده شد.

#### نشاندارسازی پپتیدهای سنتز شده

مواد لازم: محلول ذخیره پپتید (با غلظت یک میلی‌گرم در میلی‌لیتر متانول)، محلول دی سدیم تارتارات ( $2/0$  مولار در آب)، بافر استات آمونیوم ( $5/0$  مولار با  $\text{pH}$  برابر  $6/2$ )، پرتکتات سدیم ( $\text{NaTcO}_4$ ) (که از ژنراتور  $99^{\text{m}}\text{Mo/Tc}$  به کمک ویال خلاء و شستشو با سدیم کلراید  $0/9$  درصد استریل، به طور تازه تهیه می‌شود)، محلول کلرید قلع ( $\text{SnCl}_2$ ) به غلظت یک میلی‌گرم در یک میلی‌لیتر اسید کلریدریک ( $1/0$  مولار).

متصل به دستگاه کروماتوگرافی مایع (LC-MS) از شرکت شیماتزوی ژاپن می‌باشد. ژنراتور  $99^{\text{m}}\text{Mo/Tc}$  از شرکت پارس ایزوتوپ، تهران تهیه شد. دستگاه دوز کالیبراتور از سازمان انرژی اتمی خریداری شده است. دستگاه جار هیپوکسی سفارش داخل بوده و از بخش خصوصی خریداری شده است.

#### سنتز پپتیدهای (۱) و PNBA-SVC (۲)

مراحل سنتز پپتید‌ها به شرح زیر است. داخل واکنش‌گاه مقدار  $1$  گرم رزین ونگ به همراه  $10$  میلی‌لیتر مخلوط دی متیل فرمامید و دی کلرومتان (به نسبت  $1:1$ ) برای مدت  $30$  دقیقه انکوبه شد تا متورم گشت. مقدار  $1/17$  گرم از اسید آمینه سیستئین محافظت شده Fmoc-Cys به همراه  $2/84$  گرم هیدروکسی بنزتریازول (HOBr) و  $2/0$  میلی‌لیتر دی ایزوپروپیل کربودی ایمید (DIC) در  $5$  میلی‌لیتر دی متیل فرمامید حل شد و به رزین متورم اضافه گشت. به این مجموعه،  $2/0122$  گرم دی متیل آمینو پیریدین (محلول در  $3$  میلی‌لیتر دی متیل فرمامید) اضافه شد. مخلوط واکنش به مدت  $4$  ساعت توسط دستگاه همزن، در حرارت آزمایشگاه هم زده شد. سپس  $0/2$  میلی‌لیتر پیریدین به محیط واکنش افزوده شد و همزدن به مدت یک ساعت دیگر ادامه یافت. به منظور برداشتن گروه محافظت آمین انتهاهای آمینو اسید متصل به رزین،  $10$  میلی‌لیتر پیپرازین ( $10$  درصد در دی متیل فرمامید) به واکنش‌گاه اضافه شد. برای اتصال آمینو اسید دوم به آمینو اسید اول متصل به رزین،  $1/4$  میلی‌مول آمینو اسید والین (یا آلانین) همراه با DIC و HOBr محلول در دی متیل فرمامید (با مقادیر ذکر شده در بالا) به واکنش‌گاه افزوده شد. پس از همزدن واکنش به مدت  $4$  ساعت، محافظت‌برداری از گروه آمین آمینو اسید دوم متصل به

ورقه به مقدار کل فعالیت ورقه مربوطه (۱/۳ به علاوه ۲/۳) تقسیم شد و حاصل به صورت درصد محاسبه شد. برای ورقه دوم (با حلال آب و استو نیتریل)، فعالیت ۱/۳ بخش پایینی به مقدار کل فعالیت ورقه مربوط تقسیم شد و حاصل به صورت درصد محاسبه شد. با جمع دو مقادیر بالا کم کردن مجموعه از درصد کل (۱۰۰)، درصد پپتید نشان دار شده به دست آمد.

### بررسی میزان ضریب توزیع (تعیین P<sub>Log</sub>)

در یک سیستم حلال دوفازی مرکب از سرم فیزیولوژی (نرمال سالین) و اکтанول (با حجم‌های برابر)، ۱۰۰ میکرولیتر پپتید نشان دار شده اضافه شد. پس از بهم خوردن دوفاز و ساکن شدن آنها، از هر فاز ۱۰۰ میکرولیتر برداشته شد و میزان فعالیت آن محاسبه گردید. لگاریتم نسبت فعالیت فاز آلتی به فعالیت فاز آبی، لگاریتم ضریب توزیع (Log P) را به دست داد.

### بررسی پایداری پپتیدهای ستز شده و نشاندار

بررسی پایداری پپتیدهای ستز شده توسط LC-MSs صورت گرفت. پپتیدها با پروتئین‌های پلاسمای از انکوباسیون، با اضافه کردن استونیتریل پروتئین‌های پلاسمای رسوب کرده و پس از سانتریفیوز، مایع روئی یا سوپرناتانت توسط LC-MS مورد ارزیابی قرار گرفت. به منظور ارزیابی پایداری پپتید نشان دار شده با <sup>99m</sup>Tc به نرمال سالین ( محلول سدیم کلراید ۰/۹ درصد) و پلاسمای انسانی، ۲۰۰ میکرولیتر از رادیوپپتیدها به ۱۸۰۰ میکرولیتر پلاسمای انسانی و نرمال سالین به طور جداگانه افزوده و به ترتیب در دمای آزمایشگاه و ۳۷°C انکوبه شد. در زمان‌های ۲، ۴ و ۶ ساعت پس از انکوبه شد. برای تعیین خلوص رادیوشیمیائی از ظرف حاوی نرمال سالین میزان پایداری رادیوپپتید در نرمال

روش کار: در یک ویال واکنش، پپتید مورد نظر (۵۰ میکرولیتر)، سدیم تارتارات (۲۰۰ میکرولیتر)، آمونیوم استات (۴۰ میکرولیتر)، کلرید قلع (۵۰ میکرولیتر)، سدیم پرتوکتان (۱۰-۷ میکرو کوری) اضافه شد. و ویال به مدت ۳۰ دقیقه در مجاورت یک سپر سربی در دمای اتاق انکوبه شد تا کمپلکس تشکیل گردد.

### تعیین بازده نشاندارسازی

به منظور حذف ناخالصی‌ها، محتوی ویال واکنش از کارتریج C<sub>18</sub> عبور داده شد و کارتریج با آب مقطر (۱۰ میلی لیتر) برای حذف <sup>99m</sup>TcO<sub>4</sub><sup>-</sup> و <sup>99m</sup>TcO<sub>2</sub> شستشو داده شد. سپس پپتید نشان دار شده توسط شستشو با اتانول ۹۶ درصد (۱۰ میلی لیتر) از کارتریج جدا شد و کارآئی نشاندارسازی با توجه به اکتیویته کل طبق فرمول زیر محاسبه گردید:

$$\text{کارآئی نشاندار سازی \%} = \frac{\text{فعالیت فاز آلتی}}{\text{فعالیت کل}} \times 100$$

### بررسی خلوص رادیو شیمیایی پپتیدهای (RCP%) نشاندار شده

بر روی هر یک از دو ورقه کروماتوگرافی غشائی نازک (TLC) سلیکاژل به ابعاد ۱۰×۲ سانتی‌متر، مقدار ۱۰ میکرولیتر از محتویات واکنش لکه‌گذاری شد. ورقه اول در تانک حاوی اتیل متیل کتون به عنوان حلال بالا برند (فاز متحرک) و ورقه دوم در تانک حاوی آب مقطر و استونیتریل (به نسبت ۱:۱، به عنوان فاز متحرک) قرار گرفت. پس از انجام کروماتوگرافی، ورقه‌ها خشک شد و سپس با در نظر گرفتن میزان حرکت نمونه‌ها روی ورقه‌های کروماتوگرافی، آنها به نسبت ۱/۳ از پایین و ۲/۳ از بالا برش داده شدند. فعالیت هر قسمت بریده شده توسط دستگاه گاما کانتر شمارش شد. برای ورقه اول (با حلال اتیل متیل کتون) فعالیت ۲/۳ بخش بالای

گرانولهای ۴ ترکیب شیمیایی سدیم بوروهیدرات، سدیم بی کربنات، اسید سیتریک و کبالت کلراید است. این ترکیبات، هم تا حدی رطوبت محیط را جذب می کنند، هم با جذب اکسیژن محیط داخلی جار، شرایط هیپوکسی را فراهم می کنند.

#### مطالعه در شرایط هوایی

در ابتدا سلولهای MCF-7 در یک فلاسک حاوی محیط کشت RPM11640 (دارای بافر فسفات و آنتی بیوتیک) به مدت ۲۴ ساعت در انکوباتور حاوی  $\text{CO}_2$  ۵ درصد و رطوبت قرار گرفت. سپس سلولها به کمک تریپسین ۵ درصد از فلاسک جدا شده و توسط سانتریفیوژ از محیط جدا شد. سلولها به تعداد ۱۰۶ در هر دو خانه از ۴ پلیت ۶ خانه ای استریل کشت داده شد و به مدت ۲۴ ساعت در دمای ۳۷ درجه سانتی گراد قرار گرفت. سپس محیط کشت سلولهای هر خانه آسپیره شد و خانه ها با محیط کشت تازه شستشو داده شد. هر یک از پیتیدهای نشاندار شده که با کارتريج ۱۰ C<sub>18</sub> خالص شده بود به هر خانه از پلیت ۶ خانه ای محتوی میکروکوری بود به هر خانه از پلیت ۶ خانه ای محتوی سلولها اضافه شد. خانه های پلیت سپس با محیط کشت تازه تا حجم ۲۰۰۰ میکرولیتر پر شد. پلیت ها در بازه های زمانی ۳۰، ۶۰، ۹۰، ۱۲۰ دقیقه در دمای ۳۷ درجه سانتی گراد انکوبه شدند. در پایان زمان انکوباسیون اختصاص داده شده به هر پلیت، پلیت مربوطه از انکوباتور خارج شد و محیط رویی هر خانه تخلیه گردید. سلولهای هر خانه ۳ تا ۵ مرتبه با ۲۰۰۰ میکرولیتر بافر فسفات سرد استریل شستشو داده شد و بافر مربوطه تخلیه شد. سپس به هر خانه ۲۰۰۰ میکرولیتر سدیم استرات ۴۰ میلی مولار سرد و استریل افزوده شد و پلیت به مدت ۵ دقیقه در دمای ۴ درجه

سالین مشخص شد و جهت بررسی پایداری در پلاسماء، مقدار ۱۰۰ میکرولیتر از ظرف حاوی پلاسماء برداشته و ۱۰۰ میکرولیتر استونیتریل سرد به منظور رسوب پروتئین های پلاسمایی به هر یک از نمونه ها اضافه گردید. سپس نمونه ها با دور G ۱۰۰۰۰ به مدت ۱۰ دقیقه سانتریفیوژ و میزان اکتیویته در رسوب (پلت) و مایع رویی (سوپرناتنت) توسط شمارنده گاما تعیین شد. نسبت میزان اکتیویته سوپرناتنت به اکتیویته رسوب تعیین کننده مقدار پیتید پایدار (رادیوپیتید موجود در سوپرناتنت) به پیتید ناپایدار (رادیوپیتید حبس شده در رسوب) است. میزان اتصال رادیوپیتید به پروتئین های پلاسمایی از روی میزان اکتیویته رسوب تعیین گردید برای هر زمان سه نمونه در نظر گرفته شد.

#### مطالعات جذب سلولی

**وسایل لازم:** جار هیپوکسی، گس پک بی هوایی، پتری دیش، پلیت های استریل ۶ خانه ای. جار هیپوکسی ظرفی استوانه ای با دهانه عریض و درب (سرپوشی) است که پلمپ شده و اجازه تبادل هوا با محیط خارج را نمی دهد. بر روی درب این ظرف خروجی متصل شونده به سیستم تولید  $\text{CO}_2$  قرار دارد. در داخل درب این وسیله، یک بسته فلزی کوچک، حاوی ذرات فلزی پالادیوم قرار گرفته است. در شرایطی که نتوان از سیستم القای شرایط هیپوکسی بهره برد، داخل این ظرف یک گس پک قرار می گیرد که تولید  $\text{CO}_2$  و  $\text{H}_2$  می کند و در همراهی با بسته پالادیوم که نقش جذب اکسیژن محیط را ایفا می کند، شرایط هیپوکسی نسبی را برقرار می نماید. گس پک بی هوایی (Anaerobic Gas Pak) یک بسته ای ده خانه است. روی این خانه ها به وسیله پوششی از جنس کاغذ نم گیر پوشانده شده است. داخل هر خانه، مخلوطی از

۱۲۰ دقیقه در جار هیپوکسی در شرایط بی هوایی نسبی انکوبه شدند. سپس محیط کشت هر پتری دیش در پایان بازه زمانی مربوطه تخلیه و سطح داخلی آن با ۲۰۰۰ میکرولیتر بافر فسفات سرد و استریل، سه تا پنج مرتبه شستشو داده شد. بعد از این مرحله، به هر پتری دیش، مانند مدل سلول‌های نرم‌الغیرهیپوکسی، سدیم استات استریل به میزان ۲۰۰۰ میکرولیتر اضافه شد و پتری دیش‌ها به مدت ۵ دقیقه در دمای ۴ درجه سانتی‌گراد قرار گرفتند. سپس، محلول روی آن‌ها تخلیه و به یک لوله میکروسانتریفیوژ جهت ارزیابی فعالیت پرتوزائی توسط دستگاه گاما کانتر منتقل شد. از طرف دیگر، مقدار ۲۰۰۰ میکرولیتر سدیم هیدروکساید ۴۰ میلی‌مولا ر به هر پتری دیش اضافه شد و با حرکت دورانی پتری دیش‌ها به مدت ۶۰ ثانیه لیز سلولی انجام گردید. حاصل لیز سلولی با سمپلر به لوله‌های میکروسانتریفیوژ منتقل شد و میزان فعالیت پرتوزائی آن‌ها با دستگاه گاما کانتر اندازه‌گیری شد.

### یافته‌ها

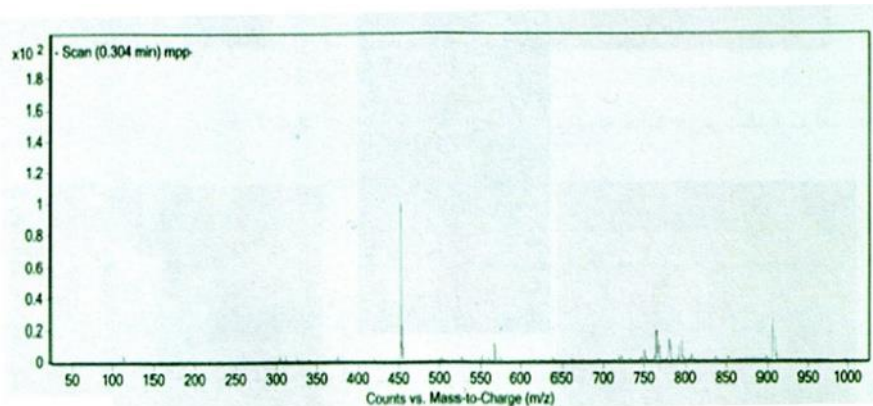
شکل‌های ۱ و ۲ طیف‌های LC-Mass پپتیدهای سنتز شده را نشان می‌دهد در جدول ۱ نتایج سنجش خصوصیات پپتیدهای سنتز شده، میزان نشاندارسازی شده پپتیدها به همراه لگاریتم ضریب توزیع آن‌ها در سیستم آب و روغن نشان داده شده است. نتایج بررسی برداشت سلولی رادیو پپتیدها توسط سلول‌های MCF-7 در شرایط هوایی و بی‌هوایی در زمان‌های مختلف در شکل ۳ آورده شده است. پپتیدهای سنتز شده از پایداری خوبی تا حداقل ۴ ساعت بعد از انکوباسیون با پروتئین‌های پلاسمای برخوردار بودند. نتایج LC-MS نمایانگر پایداری پپتیدها بود.

سانتی‌گراد انکوبه شد. بعد از این مدت، محیط مائی هر خانه با سمپلر جدا و به یک لوله میکرو سانتریفیوژ منتقل شد و سپس فعالیت پرتوزی موجود در محلول (سوپرناتانت) توسط دستگاه گاما کانتر محاسبه شد. در مرحله آخر، به هر خانه ۲۰۰۰ میکرولیتر سدیم هیدروکساید ۱ مولار استریل اضافه شد تا در مدت ۳۰ ثانیه با حرکت دورانی پلیت‌ها، لیز سلولی هر خانه ایجاد شود. سپس محتویات هر خانه از پلیت‌ها با سمپلر خارج شد و با انتقال به لوله‌های میکروسانتریفیوژ از نظر میزان فعالیت پرتوزایی توسط دستگاه گاما کانتر مورد ارزیابی قرار گرفت.

### مطالعه در شرایط بی‌هوایی

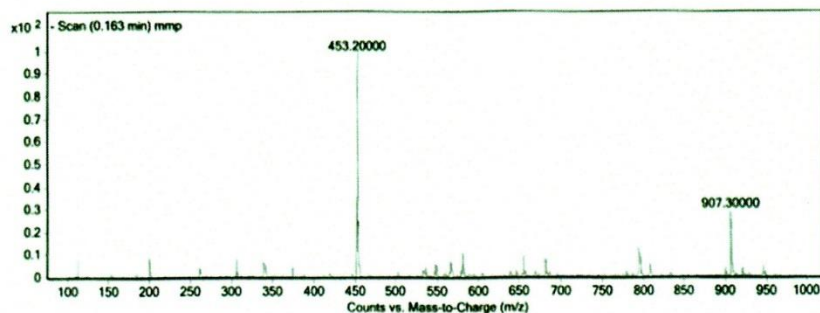
پس از تکثیر سلول‌ها و جداسازی و شمارش آن‌ها مطابق روش بالا، تعداد  $1/5 \times 10^6$  سلول در داخل هر یک از چهار پتری دیش قرار گرفت. حجم محیط کشت در هر پتری دیش به میزان ۳۰۰۰ میکرولیتر تنظیم شد. پتری دیش‌ها برای تکثیر و چسبیدن سلول‌ها به کف ظرف برای مدت ۲۴ ساعت در ۳۷ درجه سانتی‌گراد داخل انکوباتور قرار گرفتند. پس از پایان انکوباسیون، پتری دیش‌ها درون جار هیپوکسی در مجاور یک گسپک بی‌هوایی آماده شده قرار گرفتند. در جار هیپوکسی یک بسته کوچک حاوی متیلن بلو قرار داده شد. رنگ این بسته در ابتدا آبی است ولی با افت فشار اکسیژن بی‌رنگ شده که مؤید ایجاد شرایط هیپوکسی در جار است. پس از ۴ ساعت، محیط کشت هر پتری دیش آسپیره شد و طبق روال قبل سلول‌ها با بافر تازه شستشو داده شدند. مقدار ۱۰ میلی‌کوری از هر پپتید نشاندار به هر پتر دیش اضافه شد و مابقی فضای پتری دیش‌ها تا حجم ۳۰۰۰ میکرولیتر با محیط کشت تازه پر شد. پتری دیش‌ها در چهار بازه زمانی ۳۰، ۶۰، ۹۰ و

جدول ۱) خصوصیات فیزیکو شیمیائی پپتیدها و رادیوپپتیدها					
(LogP) ضریب توزع	درصد بازده رادیوشیمیایی	درصد خلوص رادیوشیمیایی	LC-MS (M-1) جرم طیفی	جرم مولکولی	پپتید
			۴۵۵/۷	۴۵۶/۵	PNBA-SVC
			۴۵۳/۲	۴۵۴/۵	PNBA-IAC
-۰/۰۰۶۸۹	۹۱±۳/۲	۹۴±۲/۳			PNBA-SVC- <sup>۹۹m</sup> Tc
-۰/۰۰۷۴۵	۹۳±۱/۶	۹۵±۱			PNBA-IAC- <sup>۹۹m</sup> Tc



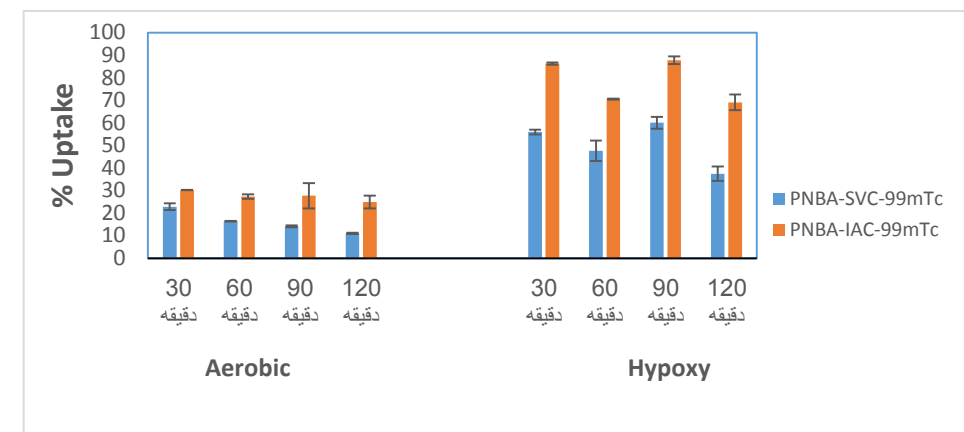
(PNBA-SVC) ۱ پپتید شماره ۱ (LC-Mass)

Fig 1) Mass spectrum of peptide 1 (PNBA-SVC)



(PNBA-IAC) ۲ پپتید شماره ۲ (LC-Mass)

Fig 2) Mass spectrum of peptide 2 (PNBA-IAC)



شکل ۳) درصد برداشت رادیو پپتیدها توسط سلول‌های MCF-7 در شرایط هوایی و بی‌هوایی نسبی در زمان‌های ۳۰، ۶۰، ۹۰ و ۱۲۰ دقیقه بعد از انکوباسیون  
Fig 3) % Uptake of radiopeptides by MCF-7 cells in aerobic and hypoxic conditions at 30, 60, 90, and 120 min post incubation

بافت هیپوکسی و ماندگاری کافی در بافت مورد نظر را داشته باشد. در صورتی که این ترکیبات با رادیوایروتوب مناسب نشاندار شوند در پزشکی هسته‌ای برای تشخیص بافت هیپوکسی به کار خواهند رفت. هدف این تحقیق معرفی ترکیباتی بود که با تکنسیم نشاندار شده و حاوی گروه نیترو برای به دام آفتدان در بافت هیپوکسی باشند. به این منظور از تری‌پپتیدهای که نقش شلاتور را برای تکنسیم بازی می‌کنند استفاده شد. به منظور ماندگاری در بافت هیپوکسی از پارانیتروبنزوئیک اسید (به عنوان عامل دارنده گروه نیترو) بهره گرفته شد که به راحتی به توالی اسیدهای آمینه متصل می‌شود. البته در کارهای مشابه گذشته از پپتیدها در اتصال به ترکیبات نیترو ایمیدازولی به عنوان عامل دارنده گروه نیترو استفاده شده است (۱۸). همچنین از پپتیدهای نشاندار شده با تکنسیم <sup>99m</sup>Tc در تصویر برداری از ترومبوز استفاده شده است (۱۹ و ۲۰). برای ستز پپتیدها از روش ستز در فاز جامد (SPPS) با متدهای Fmoc استفاده شد. در این متدهای آمینی اسیدهای آمینه توسط یک عامل Fmoc پوشیده شده است تا به این ترتیب از واکنش گروه آمینی جلوگیری شود، که در مرحله‌ای اتصال اسیدهای آمینه این عامل

به منظور تعیین پایداری رادیوپپتیدها در طی زمان‌های مختلف کروماتوگرافی لایه نازک بر روی فاز ساکن سیلیکاژل انجام شد. نتایج حاکی از آن بود که خلوص رادیوشیمیائی برای هر دو رادیوپپتید در محلول نرم‌مال سالین و پلاسمای انسانی در مدت زمان ۶ ساعت تغییر چندانی نمی‌کند.

## بحث

هیپوکسی در نتیجه‌ی اکسیژن‌رسانی ناکافی به بافت ایجاد می‌شود. در بیماری‌هایی همچون ایسکمی‌های قلبی، مغزی و سرطان‌ها هیپوکسی شدن بافت‌ها اتفاق می‌افتد. از متداول‌ترین علت هیپوکسی، ایسکمی‌ها هستند (۱). سلول‌ها و بافت‌های دچار هیپوکسی به شیمی درمانی و رادیوتراپی پاسخ نمی‌دهند (۳-۶)، در نتیجه شناسایی و تشخیص به موقع بافت هیپوکسی به خصوص در این بیماری‌ها بسیار اهمیت دارد زیرا اگر بافت هیپوکسی به موقع تشخیص داده نشود، به مرور نکروزه شده و به بافت مرده تبدیل می‌شود و این حالت بسیار برای ارگان‌های حیاتی بدن خطرناک است (۷). برای تشخیص بافت هیپوکسی به ترکیباتی نیاز است که تمایل ورود به

TcO<sub>4</sub><sup>-</sup> آزاد به TcO<sub>2</sub> را دارد که کارایی لازم را در تشکیل کمپلکس ندارد. بنابراین برای جلوگیری از این تبدیل باید از یک شلاته کننده واسطه با عملکرد سریع در محیط واکنش استفاده شود که بدین منظور از محلول دی سدیم تارتارات به عنوان شلاتور استفاده شد. برای جلوگیری از تغییرات pH محیط، بافر آمونیوم استات به محیط واکنش اضافه شد. برای نشان دارسازی هر ترکیبی با تکنسیم نیاز به کلرید قلع (SnCl<sub>2</sub>) در محیط واکنش است. نقش این ماده احیا پر تکنکتات و آماده سازی آن برای انجام واکنش است. به این ترتیب که قلع با عدد اکسیداسیون ۲+ وارد محیط واکنش شده و در مجاورت پر تکنکتات تبدیل به Sn<sup>4+</sup> می شود. دو الکترون آزاد شده از قلع به پر تکنکتات داده شده و در نتیجه پرنکنکتات احیاء شده می تواند با تارتارات به صورت موقت واکنش داده و تشکیل کمپلکس دهد. این واکنش ادامه می یابد، تا زمانی که یک لیگاند قوی تر وارد محیط واکنش شود. با ورود لیگاند قوی تر مانند گوگرد (که در ساختار پیتیدهای مورد نظر وجود دارد) سدیم تارتارات محیط را ترک کرده و تکنسیم احیا شده به گوگرد متصل می شود.

بررسی خلوص رادیوشیمیایی پیتیدهای نشان دار شده، به وسیله کروماتوگرافی لایه نازک (TLC) انجام شد. در دو تانک TLC، که یکی حاوی اتیل متیل کتون (EMK) و تانک دیگر حاوی استونیتریل و آب به نسبت مساوی بودند، دو ورقه TLC لکه گذاری شده، قرار گرفت. بعد از بالا رفتن نمونه ها، ورقه ها از تانک

خارج شد و به نسبت ۳-۳ بریده شد و اکتیویته هر قسمت جداگانه توسط دستگاه گاما کانتر اندازه گیری شد. حال EMK، آن بخشی از نمونه را که حاوی TcO<sub>4</sub><sup>-</sup> می باشد، با خود بالا می برد. بنابراین ۳-۳ بالایی

ورقه مؤید TcO<sub>4</sub><sup>-</sup> موجود در نمونه است و ۳-۳ پایینی

توسط پیپرازین برداشته شده تا اسید آمینه‌ی جدید به اسید آمینه قبلی متصل شود. طبق روش SPPS برای سنتز پیتید به یک پایه اولیه نیاز است که اسید آمینه‌ها یک به یک روی آن سوار شوند. به این منظور در این پژوهش از رزین ونگ استفاده شد که آمینو اسید اول با پیوند استری به رزین متصل می شود. آمینو اسیدهای بعدی از طریق عامل آلفا کربوکسیل خود به گروه آمین آزاد (فاقد عامل محافظ) مربوط به آمینو اسید متصل به رزین با پیوند آمیدی متصل می گردد. ترکیب پارانیتروبنزوئیک اسید بمانند یک آمینو اسید می تواند از طریق گروه کربوکسیل خود به آمین آزاد پیتید سوار شده بر رزین متصل شود. البته در اینجا نیازی به مرحله بعدی محافظت برداری نیست. در انتهای پیتید ساخته شده که حامل گروه نیترو است توسط تری فلوئورو استیک اسید از رزین جدا می شود که پس از صاف شدن، محلول به دست آمده در اتر سرد، رسوب پیتید مربوطه را به دست می دهد. لازم به تذکر است که تری فلوئورو استیک اسید حاوی مواد کمکی به دام انداز (scavengers) است تا عوامل محافظت کننده گروههای عاملی پیتید، پس از شکسته شدن از گروه عاملی خود به دام افتاده و به نقاط حساس دیگر پیتید حمله نکنند.

پیتیدهای سنتز شده با <sup>99m</sup>Tc نشان دار شدند. در این نشان دارسازی به یون تکنسیم با ساختار [Tc=O]<sup>+</sup> نیاز است تا با نیتروژن و گوگرد موجود در پیتیدها کمپلکس تشکیل دهد. در ساختار این پیتیدها به دلیل وجود اسید آمینه سیستئین، گوگرد نیز وجود دارد. گوگرد لیگاند نرم است و برقراری پیوند آن با تکنسیم زمان بر است، گرچه در صورت تشکیل پیوند، گوگرد می تواند کمپلکسی مستحکم و قوی با تکنسیم برقرار کند. زمان بر بودن تشکیل کمپلکس، خطر تبدیل یون پر تکنکتات

می‌کند و وارد سلول می‌شود. به عبارتی، احتمال عبور یک پپتید لیپوفیل از غشاء سلولی و ورود آن به سلول به مراتب بیشتر از ترکیبات هیدروفیل است. اگر لیپوفیلیستیه خیلی زیاد باشد، ترکیب در داخل غشاء به دام افتاده و وارد فضای داخل سلول نمی‌شود. بنابراین تعیین مقدار Log P از این نظر اهمیت دارد. مطالعات قبلی نشان داده‌اند که Log P نزدیک صفر برای ترکیباتی که به عنوان تصویربرداری بافت هیپوکسی مصرف می‌شوند، ایده‌آل است (۱۸). به عنوان مثال، Log P ترکیب FMISO برابر  $0^{+/-} 41$  بود که برای ورود به بافت هیپوکسی بسیار مناسب بود (۲۱).

مقادیر Log P پپتیدهای نشاندار سنتز شده حاضر گرچه منفی بودند ولی عدد به دست آمده نزدیک به صفر است، بنابراین احتمال ورود پپتیدهای سنتز شده به سلول هیپوکسی وجود دارد. در تحقیق حاضر، مطالعات جذب سلولی پپتیدهای نشاندار شده در دو شرایط هوایی (نرمال) و غیرهوایی (هیپوکسی) انجام شد تا نحوه عملکرد سلول‌ها در شرایط متفاوت در برابر این ترکیبات مورد مقایسه قرار گیرد. بررسی‌های برداشت سلولی پپتید ۱ در شرایط هوایی نشان داد که در ۳۰ دقیقه اول میزان برداشت پپتید به داخل سلول‌ها حدود ۲۳ درصد بود (شکل ۳). با گذر زمان طی ۹۰، ۹۰ و ۱۲۰ دقیقه میزان فعالیت پرتوزائی در سلول‌ها افت کرد و در مقابل میزان فعالیت پرتوزائی در فضای خارج سلولی بالا رفت. این بدین معنی است که در شرایط هوایی، پپتید حاوی گروه نیترو پس از ورود به سلول می‌تواند احیا شود و به مرور زمان در سلول اکسید گردد و از سلول خارج گردد. بنابراین ماندگاری پپتید در شرایط هوایی در داخل سلول پائین است. در سلول‌های هیپوکسی، میزان پپتید ۱ در ۳۰ دقیقه اول حدود ۵۵ درصد بود که با گذشت زمان از مقدار آن کاسته شد ولی کماکان نسبت به شرایط هوایی

ورقه مخلوطی از پپتید نشاندار شده با  $\text{TcO}_2$  می‌باشد. پس آنچه با استفاده از ورقه مربوط به حلال EMK قابل محاسبه است، درصد اکتیویته  $\text{TcO}_4^-$  به عنوان ناخالصی می‌باشد. حلال موجود در تانک آب و استونیتریل، پپتید نشاندار شده را به همراه  $\text{TcO}_4^-$  بالا  $\text{TcO}_2$  می‌برد و آنچه که در پایین ورقه باقی می‌ماند،  $\text{TcO}_2$  می‌باشد. با استفاده از ورقه مربوط به این تانک می‌توان درصد  $\text{TcO}_2$  را به عنوان ناخالصی محاسبه کرد. در نهایت درصد نشاندار سازی پپتید برابر است با:

$$(\% \text{ TcO}_4^- + \% \text{ TcO}_2) = \text{درصد نشاندار سازی}$$

هر چه مجموع درصد  $\text{TcO}_4^-$  و  $\text{TcO}_2$  کمتر باشد، درصد نشاندار شدن پپتید بیشتر و خلوص رادیوشیمیایی آن بالاتر است.

برای بررسی Log P در مورد پپتیدها، انحلال‌پذیری پپتید در یک فاز آب دوست با انحلال‌پذیری آن در یک فاز آب گریز مقایسه می‌شود. در این روش، فاز آب ۰/۹ دوست عموماً سرم فیزیولوژیک (سیدیم کلراید) درصد در آب مقطر) و فاز آب گریز اکتانول نرمال (n-Octanol) می‌باشد. نسبت حجمی مصرفی از این دو حلال باید با هم برابر باشد تا مقایسه دقیق و درستی انجام شود. نتایج Log P به این ترتیب تفسیر می‌شود، که اگر عدد حاصل از نظر ریاضی عددی منفی باشد، پپتید هیدروفیل است و تمایلش به فاز آبی بیشتر است و هر چه این عدد منفی‌تر باشد، هیدروفیلیستیه پپتید هم بیشتر است. اگر عدد حاصل از نسبت مربوطه مثبت باشد، پپتید لیپوفیل است و تمایلش به فاز آبی بیشتر است و هر چه این عدد مثبت‌تر باشد، پپتید لیپوفیل تر خواهد بود. از آنجا که هر سلول توسط یک غشا دو لایه چربی پوشیده شده است و بیشتر ساختار غشاء سلول از فسفولیپیدها تشکیل شده، بنابراین هر چه یک ترکیب لیپوفیل تر باشد، راحت‌تر از غشاء سلولی عبور

رديابي و تصويربرداري مناسب باشد. لازم به ذكر است که در اين آزمایش های برداشت سلولی پیتیدها در شرایط هيپوكسی، به دليل باز شدن مکرر درب جار، احتمال ورود اکسیژن به فضای داخل جار و نتيجتاً تضعيف و تغيير شرایط هيپوكسی وجود دارد که اين خود می تواند در روند و نتایج آزمایش ها خطا ايجاد کند.

### نتيجه گيري

در اين مطالعه ۲ پیتید که در قسمت انتهای آمينه آنها، پارانيتروبنزوئيك اسييد متصل بود، طراحی و سنتز شدند. پیتیدها با استفاده از  $^{99m}\text{Tc}$  نشاندار شده و خلوص راديو شيميايی، بازده نشاندارسازی، پايداري، P و Log P برداشت آنها توسط سلول های MCF-7 در شرایط هوازی و بي هوازی بررسی شد. نشاندارسازی پیتیدها با بازده و خلوص بالايی به دست آمد. پیتیدها به علت داشتن Log P در حد صفر به نظر می رسد که به خوبی در بافت هيپوكسی به دام می افتد و تا زمان ۱۲۰ دقيقه می توانند در سلول ها بقا داشته باشند که اين مدت زمان برای شناسائی، رديابي و تصويربرداري از مشکوک به سرطان می تواند كافی باشد. تأييد اين مسئله نيازمند مطالعه با تعداد پیتیدهای بيشتر و ليپوفيل تر در ورود به انواع سلول های سرطاني در شرایط هوازی و هيپوكسی می باشد.

### سپاس و قدردانی

اين مقاله برگرفته از پيان نامه دكتري عمومي داروسازی خانم مهتاب محمدپور است. اين کار تحقيقاتي تحت حمایت مالي هيچ سازمانی قرار نگرفته است.

### تضاد منافع

هيچ گونه تعارض منافع توسط نويسندهان بيان نشده است.

مقدار آن در سلول ها بيشتر بود (شكل ۳). توضيح اينکه در شرایط هيپوكسی بافت، روند جذب سلولی پیتید تا ۳۰ دقيقه اول سريع بوده و سپس روند کند دفع پیتید از سلول تا دقيقه ۶۰ واقع شده و جذب مجدد با شدت بيشتر تا دقيقه ۹۰ صورت گرفته و سپس دفع بعدی از سلول ها واقع شده که به سمت ۱۲۰ دقيقه، روند نزولی در بقای پیتید در سلول ادامه يافته است. به نظر می رسد که روند دو مرحله ای جذب بخاطر مهيا شدن تدريجي و تشديد محيط هيپوكسی در سلول ايجاد شده باشد. در مورد پیتید ۲ در ورود به سلول ها در شرایط هوازی و بي هوازی روند مانند پیتید ۱ است با اين تفاوت که ميزان برداشت کلي پیتید ۲ توسط سلول در شرایط هيپوكسی نسبت به پیتید ۱ بالاتر می باشد، گرچه در مقاييسه با شرایط نرمال، ميزان برداشت نسبی پیتید ۲ کمتر از پیتید ۱ توسط سلول است (شكل ۳ ملاحظه شود). تحقيق حاضر نشان می دهد که پیتیدهای سنتز شده حامل پارانيتروبنزوئيك اسييد با داشتن گروه نيترو در بخش پاراي حلقه بنزنی می تواند مشابه پیتیدهای سنتز شده حامل ترکيبات نيترو ايميدازولي (۱۸) عمل کرده و گروه نيتروي آزاد آن قابل دسترس برای احیا شدن باشد. البته در مقاييسه با مطالعه مشابه گذشته (۱۸) که در آن، ميزان برداشت پیتید توسط سلول در طول زمان ۱۲۰ دقيقه در شرایط هيپوكسی دو برابر شرایط نرمال گزارش شده است، در تحقيق حاضر در شرایط مشابه، ميزان برداشت سلولی پیتیدها در مورد پیتید ۱ و ۲ در مقاييسه شرایط هيپوكسی با شرایط نرمال به ترتيب ۴ و ۲/۸ برابر است که به مراتب عملکرد بهتری را نشان می دهد.

به طور کلي می توان گفت که بافت هيپوكسی در مقاييسه با بافت عادي (نرمال) می تواند ترکيب نشاندار حاوي گروه نيترو را درون خود به دام اندازد و مدتني نگه دارد. اين مدت می تواند برای شناخت بافت هيپوكسی جهت

## References:

- 1.Mason RP, Zhao D, Pacheco-Torres J, et al. Multimodality Imaging of Hypoxia in Preclinical Settings. *Q J Nucl Med Mol Imaging* 2010; 54(3): 259-80.
- 2.Dhani N, Fyles A, Hedley D, et al. The Clinical Significance of Hypoxia in Human Cancers. *Semin Nucl Med* 2015; 45(2): 110-21.
- 3.Mees G, Dierckx R, Vangestel C, et al. Molecular Imaging of Hypoxia with Radiolabelled Agents. *Eur J Nucl Med Mol Imaging* 2009; 36(10): 1674-86.
- 4.Krohn KA, Link JM, Mason RP. Molecular Imaging of Hypoxia. *J Nucl Med* 2008; 49: 129S-48S.
- 5.Span PN, Bussink J. Biology of Hypoxia. *Semin Nucl Med* 2015; 45(2): 101-9.
- 6.Langen KJ, Eschmann SM. Correlative Imaging of Hypoxia and Angiogenesis. *J Nucl Med* 2008; 49(4): 515-6.
- 7.Linder KE, Chan Y-W, Cyr JE, et al. TcO (PnA-O-1-(2-nitroimidazole))[BMS-181321], A New Technetium-containing Nitroimidazole Complex for Imaging Hypoxia: Synthesis, Characterization, and Xanthine Oxidase-catalyzed Reduction .*J Med Chem* 1994; 37(1): 9-17.
- 8.Nunn A, Linder K, Strauss HW. Nitroimidazoles and Imaging Hypoxia. *Eur J Nucl Med* 1995; 22(3): 265-80.
- 9.Le QT, Courter D. Clinical Biomarkers for Hypoxia Targeting. *Cancer Metastasis Rev* 2008; 27(3): 351-62.
- 10.Varia MA, Calkins-Adams DP, Rinker LH, et al. Pimonidazole: A Novel Hypoxia Marker for Complementary Study of Tumor Hypoxia and Cell Proliferation in Cervical Carcinoma. *Gynecol Oncol* 1998; 71(2): 270-7.
- 11.Melo T, Tunggal JK, Ballinger JR, et al. Flux Through Multicellular Layers of A Technetium-99m-Nitroimidazole for Imaging Hypoxia. *Cancer Biother Radiopharm* 2002; 17(5): 515-26.
- 12.Rezaeianpour S, Mosayebnia M, Bozorgi AH, et al. Design, Synthesis and Radiolabeling of Peptide GPRPILE with <sup>18</sup>FDG as Fibrin Imaging Agent for Thrombosis Detection. *Iran South Med J* 2018; 21(3): 228-41.
- 13.Liu S, Edwards DS. 99mTc-labeled Small Peptides As Diagnostic Radiopharmaceuticals. *Chem Rev* 1999; 99(9): 2235-68.
- 14.Klimentzou P, Beck A, Varvarigou A, et al. Solid-phase Synthesis of a Peptide Derivative of Thymosin alpha1 and Initial Studies on its 99mTc-Radiolabelling. *Chem Biol Drug Des* 2007; 70: 40-6.
- 15.Couture F, Levesque C, Dumulon-Perreault V, et al. PACE4-based Molecular Targeting of Prostate Cancer Using An Engineered 64 Cu-radiolabeled Peptide Inhibitor. *Neoplasia* 2014; 16(8): 634-43.
- 16.Karachaliou CE, Liolios C, Triantis C, et al. Specific in Vitro Binding of Prothymosin alpha on Human Neutrophils. *Int J Pharm* 2015; 486(1-2):1-12.
- 17.Hausner SH, Bauer N, Hu LY, et al. The Effect of Bi-Terminal PEGylation of an Integrin αvβ6-Targeted 18F Peptide on Pharmacokinetics and Tumor Uptake. *J Nucl Med* 2015; 56(5): 784-90.
- 18.Zhang X, Su ZF, Ballinger JR, et al. Targeting Hypoxia in Tumors Using 2-nitroimidazoles with Peptidic Chelators for Technetium-99m: Effect of Lipophilicity. *Bioconjug Chem* 2000; 11: 401-7.
- 19.Rezaeianpour S, Bozorgi AH, Moghimi A, et al. Synthesis and Biological Evaluation of Cyclic [99mTc]-HYNIC-CGPRPPC as a Fibrin-Binding Peptide for Molecular Imaging of Thrombosis and Its Comparison with [99mTc]-HYNIC-GPRPP. *Mol Imaging Biol* 2017; 19(2):256-64.
- 20.Mosayebnia M, Hajiramezanali M, Shahhosseini S, et al. Docking, synthesis, in-vitro evaluation, and optimization of reaction conditions for direct radiolabeling of CGPRPPC with technetium-99m through the GAGG sequence. *Nuclear Medicine Communications* 2018; 39(11): 976-982.
- 21.Rasey JS, Koh W-J, Grierson JR, et al. Radiolabeled Fluoromisonidazole As Imaging Agent for Tumor Hypoxia. *Int J Radiat Oncol Biol Phys* 1989; 17(5): 985-91.

**Original Article**

# Design, Synthesis and Labeling of Tripeptide Derivatives with $^{99m}\text{Tc}$ as Hypoxia Imaging Agents

**MH. Houshdar Tehrnai (PhD)<sup>1\*</sup>, M. Mohammadpoor (Pharm D)<sup>2</sup>,  
S. Shahhosseini (PhD)<sup>1</sup>**

<sup>1</sup> Pharmaceutical Chemistry & Nuclear Medicine Dept, School of Pharmacy, Shahid Beheshti University of Medical Sciences, Tehran, Iran

<sup>2</sup> Pharmaceutical Sciences Branch, Islamic Azad University, Tehran, Iran

(Received 1 Jan, 2019 Accepted 13 Mar, 2019)

## Abstract

**Background:** Many diseases, including cancer, ischemia and tumors show degrees of tissue hypoxia. Therefore, it is useful to detect tissue hypoxia with compounds that can penetrate and remain in hypoxic cells in order to diagnose cancer at early stages. Peptides with low molecular weight, susceptible to redox environment, with easier penetration into tissues and low antigenic characteristics are good candidates, as compared to antibodies and proteins. Therefore, radiolabeling small lipophilic peptides containing a nitro group with  $^{99m}\text{Tc}$  to enter and remain in the hypoxic cell for imaging hypoxic tissue is a good strategy for earlier detection of tumors, which leads to more effective and satisfactory treatment.

**Materials and Methods:** In this study, some tripeptides were synthesized with added para nitro benzoic acid (PNBA) group at their N-terminal using solid phase peptide synthesis (SPPS) method with Fmoc strategy using Wang resin. The peptides were labeled with  $^{99m}\text{Tc}$  and their characterizations were determined using chromatographic techniques and partition coefficient experiments. A hypoxia Jar system was used to examine cellular uptake of the labeled peptides exposed to MCF-7 cells in normal and hypoxic conditions for 30 to 120 min.

**Results:** Synthesis of the peptides resulted in good yields (70% to 78%). The synthesized peptides and radiopeptides were stable in normal saline and human plasma for at least 4 h and 6 h, respectively. Radiochemical purity (RCP) of the synthesized labeled peptides was  $\approx 94\%$  with lipophilicity ( $\text{Log P}$ )  $\approx -0.006$ . Furthermore, labeled peptides exposed to MCF-7 cells could remain in hypoxic cells longer than those in normal cells.

**Conclusion:** Considering the results obtained in this study, the peptide derivatives labeled with  $^{99m}\text{Tc}$ , appear to be appropriate agents for the detection and imaging of hypoxic tissues.

**Keywords:** Solid phase synthesis, Peptide, Radiolabeling,  $^{99m}\text{Tc}$ , Hypoxia

©Iran South Med J All right reserved

Cite this article as: Houshdar Tehrnai MH, Mohammadpoor M, Shahhosseini S. Design, Synthesis and Labeling of Tripeptide Derivatives with  $^{99m}\text{Tc}$  as Hypoxia Imaging Agents. Iran South Med J 2019;22(3):160-173

Copyright © 2019 Houshdar Tehrnai, et al This is an open-access article distributed under the terms of the Creative Commons Attribution-noncommercial 4.0 International License which permits copy and redistribute the material just in noncommercial usages, provided the original work is properly cited.

\* Address for correspondence: Pharmaceutical Chemistry & Nuclear Medicine Dept., School of Pharmacy, Shahid Beheshti University of Medical Sciences, Tehran, Iran. E-mail: m\_houshdar@sbmu.ac.ir

\*ORCID: 0000-0001-9820-4156